

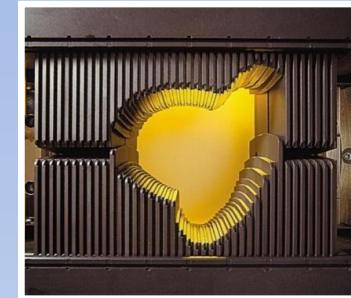
A Transparent Detector for beam monitoring in Intensity Modulated Radiotherapy



LABEX PRIMES 12 juin 2014
Y. Arnoud

Increased complexity of external beam radiotherapy techniques :

- IMRT
- ArcTherapy
- Flattening Filter Free with larger dose rates (up to 2400 MU/min)



Mu et al. 2008 : showed that 1 mm error on leaf positions can induce dosimetric changes up to 10 %.

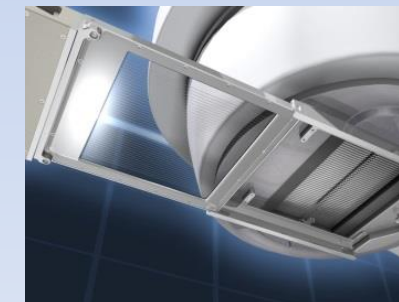
Need for treatment monitoring...



1D detectors

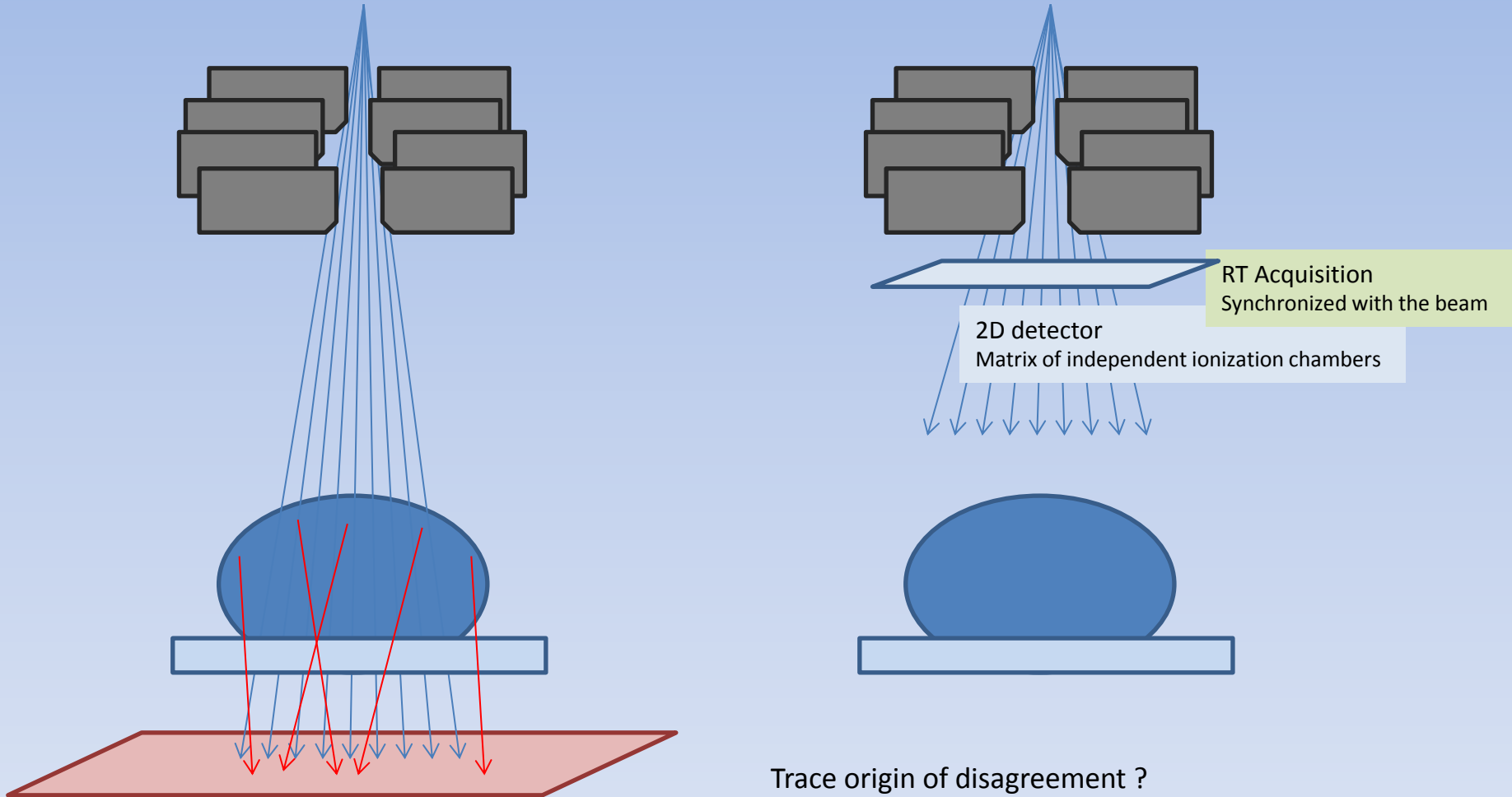


2D detectors after the patient



2D detectors before the patient

2D beam monitoring down stream / up stream to the patient

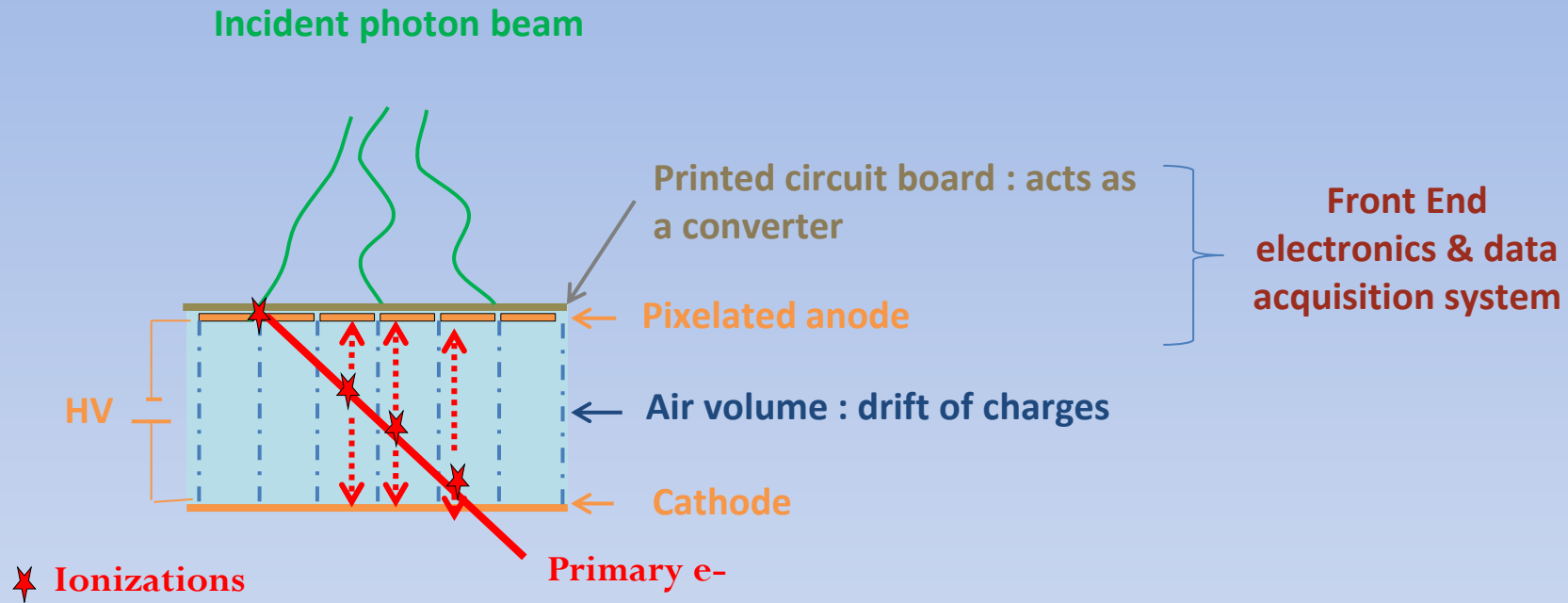


QA using EPID : final image contains both the transmitted beam and the scattered beam

Trace origin of disagreement ?

- Patient related (e.g. weight loss, PTV modification, ...)
- Beam related (e.g. MLC off by a few millimeters, beam asymmetry,)

TraDeRa, a Transparent Detector for external beam Radiotherapy



Air vented detector based on pixelated matrix of ionization chambers

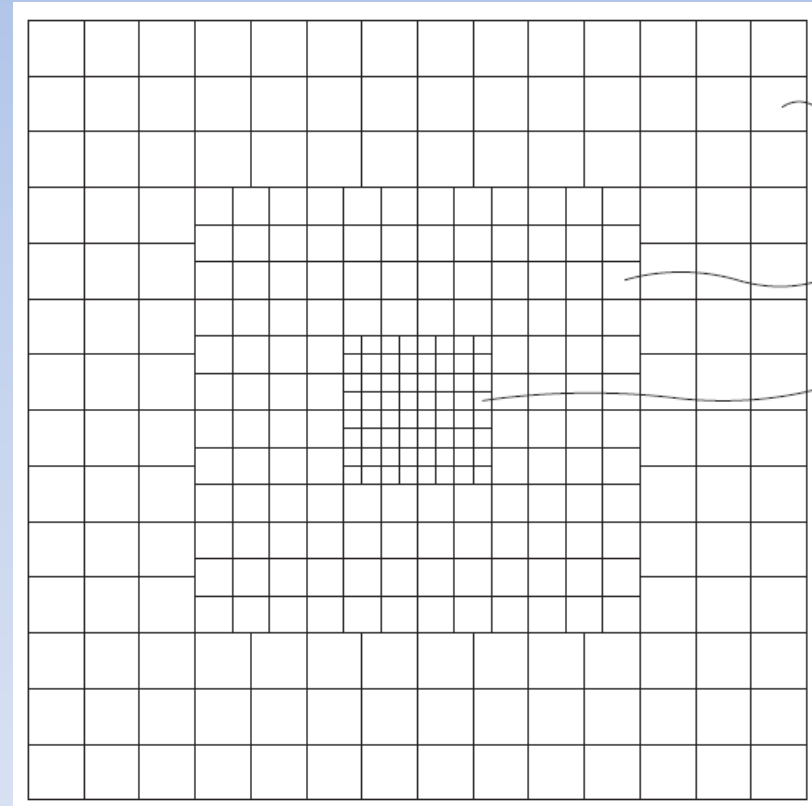
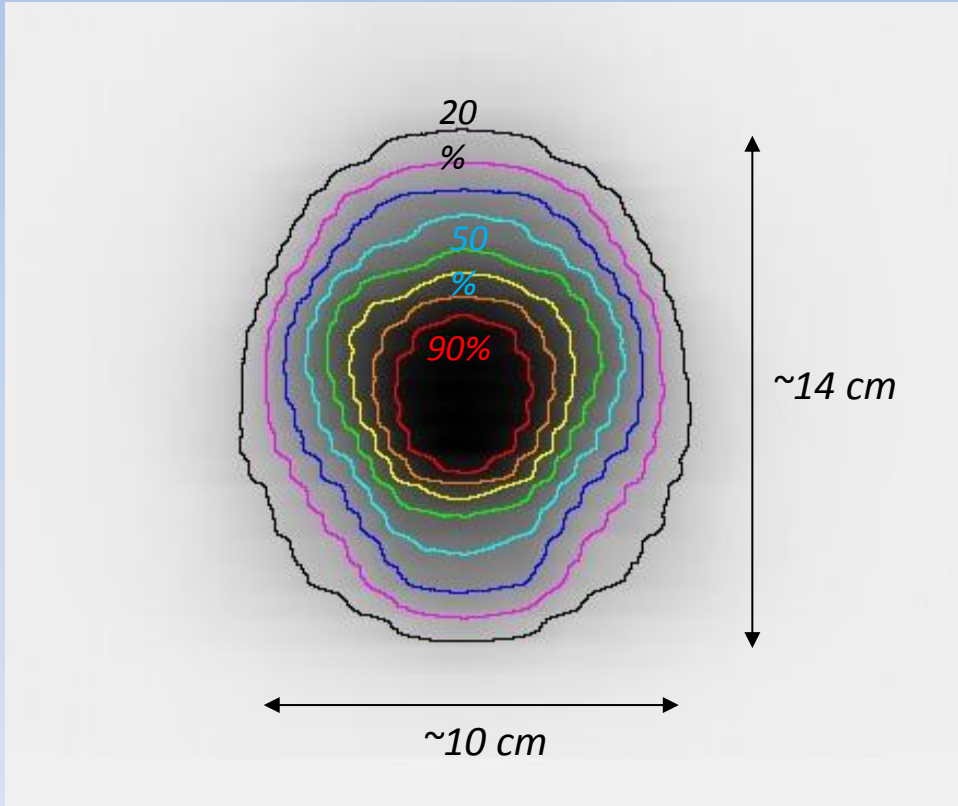
- $40 \times 40 \text{ cm}^2$, no dead zone
- Uniform and minimized beam attenuation
- Real time monitoring
- Radiation hard

Optimization based on most probable beam location

Accumulation of EPID data from IMRT treatments

(CHU Grenoble)

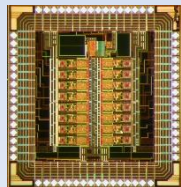
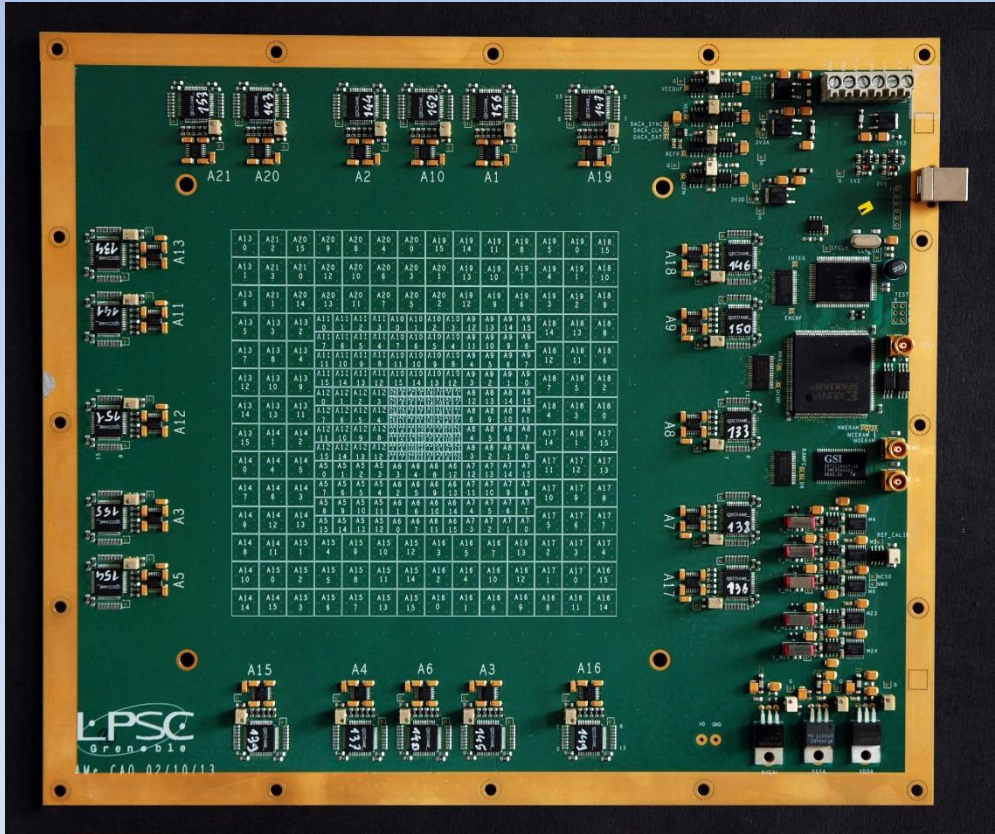
200 patients, 20 locations



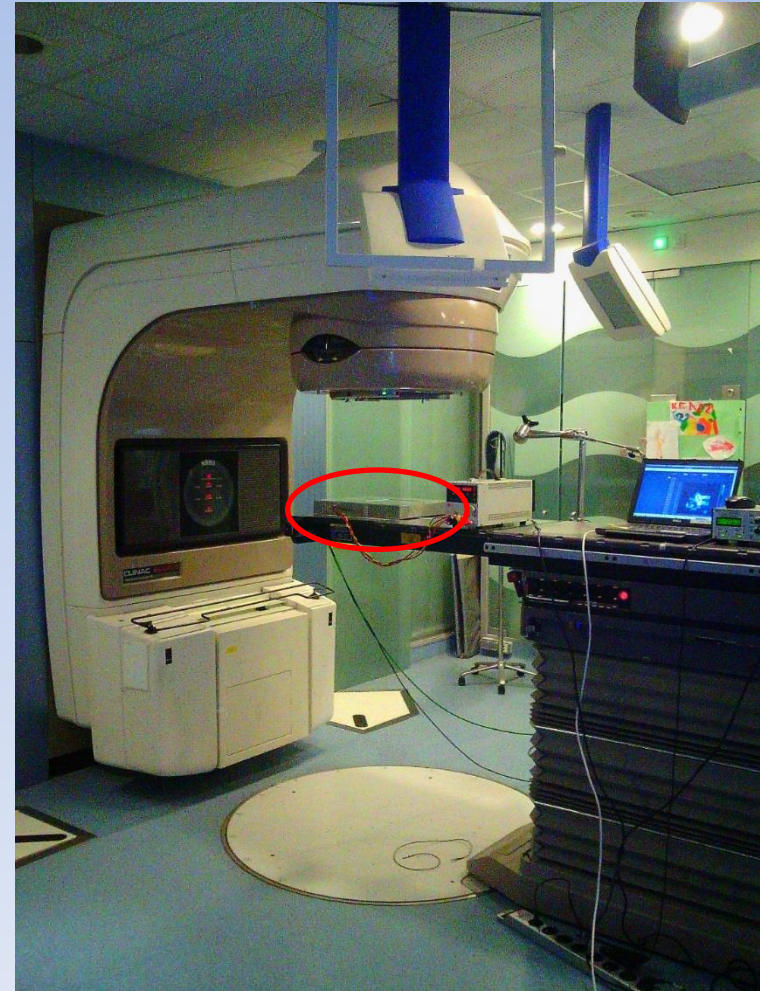
Current prototype (scale $\frac{1}{4}$) : 14 x 14 cm² , SSD 100 cm

Compact detector, including both the electrodes and the readout electronics (in house ASIC, FPGA).

Bluetooth Data transmission.

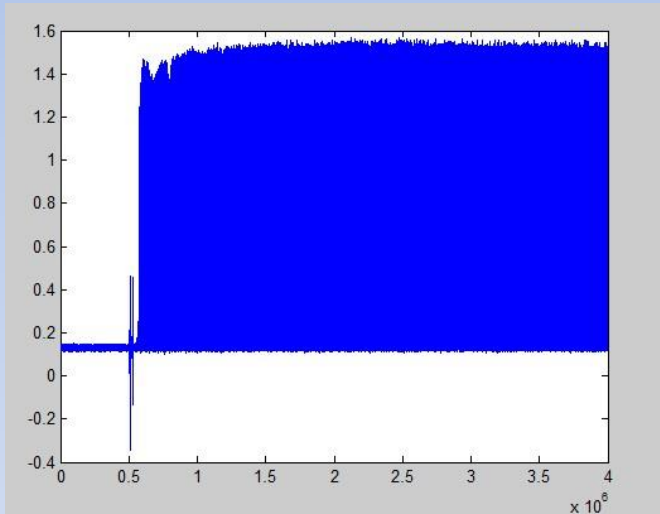


In-house 16 channels QCD, linearity better than 0,1%
Charge integration at the linac pulse scale

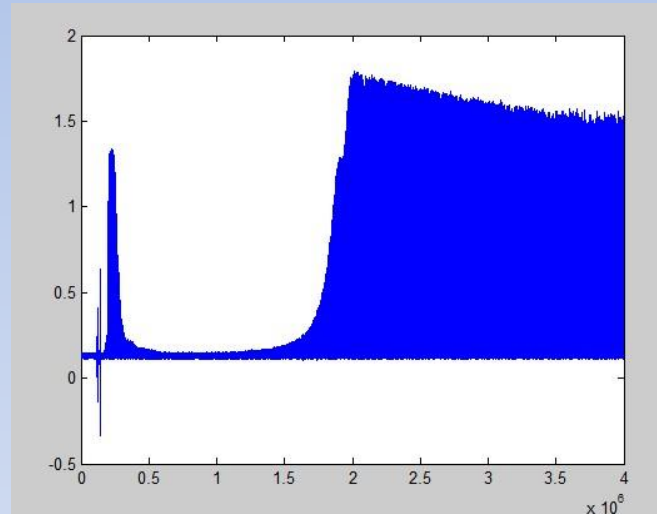


Results : set of independent measurements

Focusing on one electrode : charge contents vs time

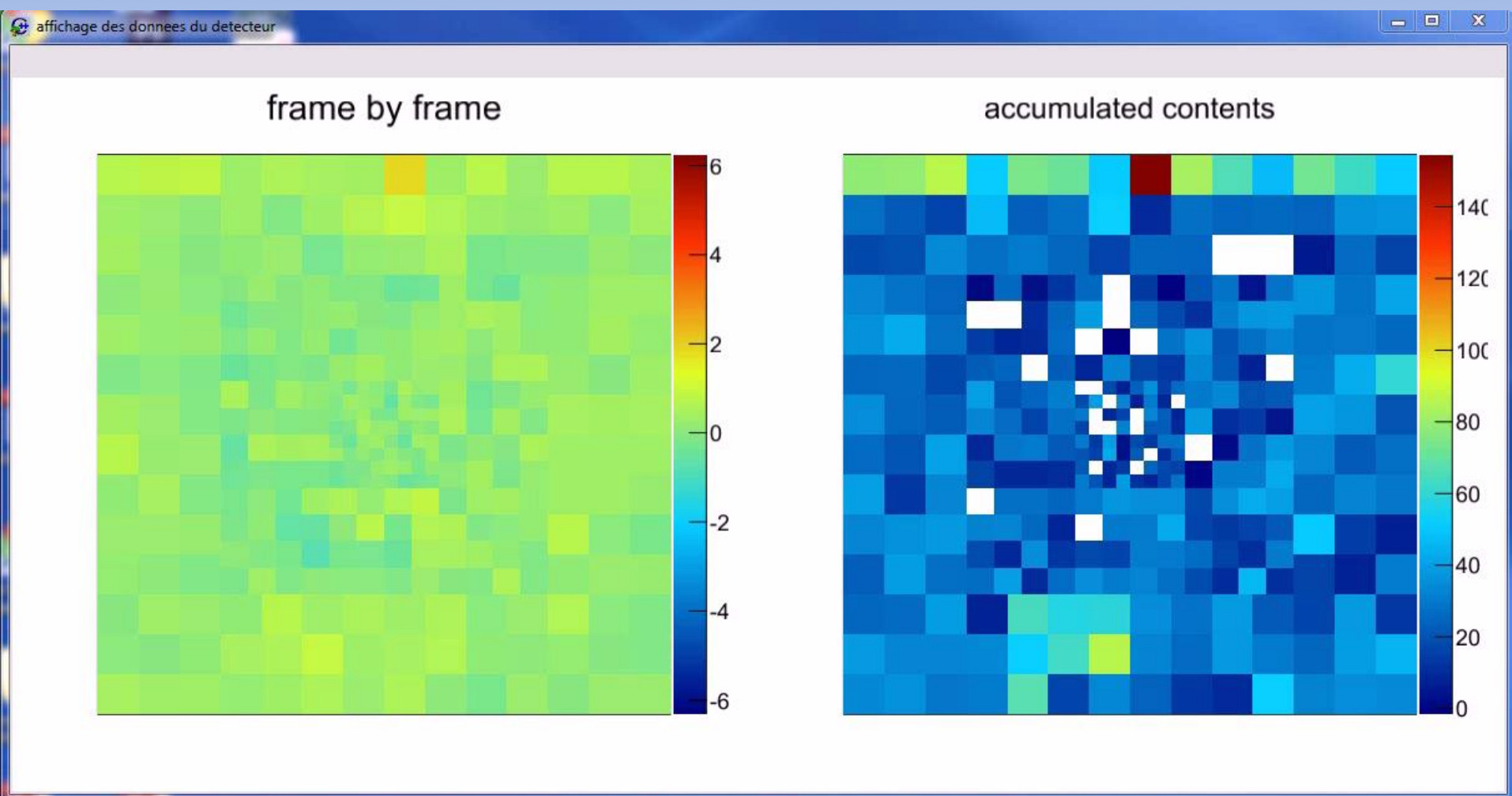


Normal beam delivery session.
Linac reaches a stable working point.



Unstable startup : intensity decreases before a sharp rise. Then short decrease until stability is reached after 3 seconds.

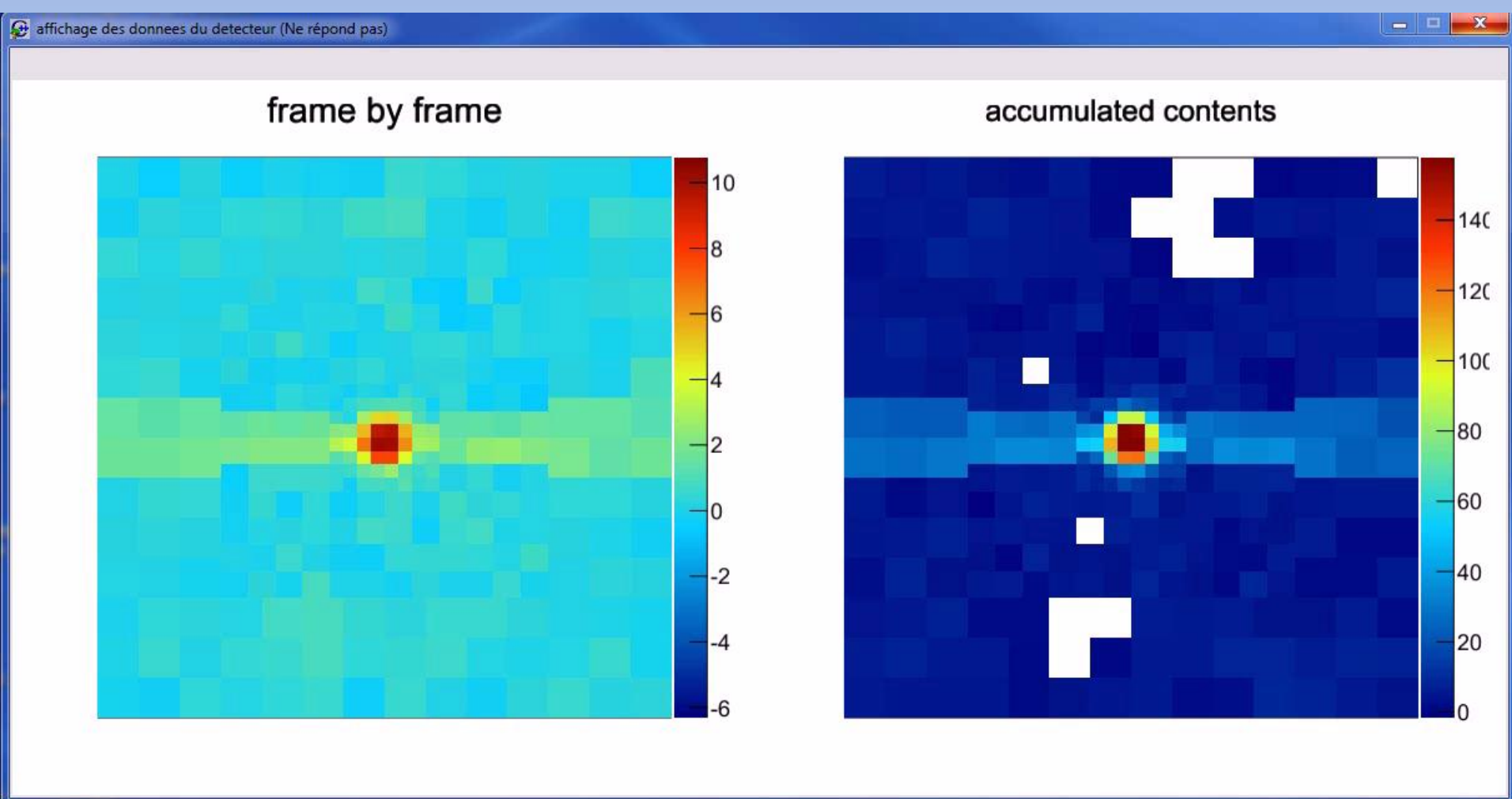
Clinac 2100, CHU Grenoble
Dynamic filter 14x14, SSD 100 cm (6MV, 200 UM @ 300UM/min)



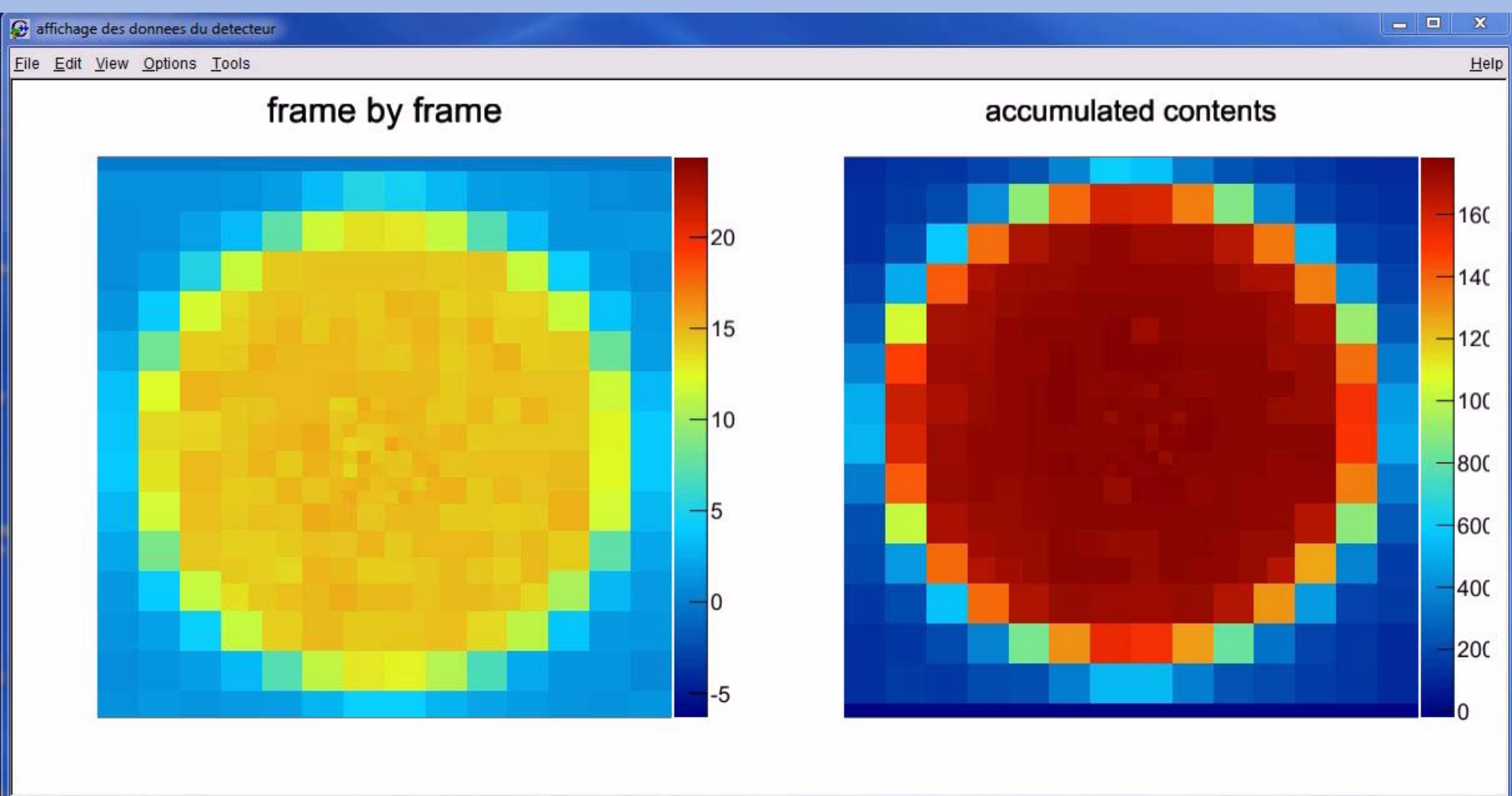
Right : 1 frame out of 64 is displayed

Left : all accumulated frames

Detector under the linac head
Dynamic field @ SSD 70 cm (200 UM, 300UM/min)



Detector under the linac head
Dynamic field @ SSD 100 cm (200 UM, 300UM/min)



Conclusion

Full 2D measurement in real time, upstream to the patient.

Next prototype with 1600 embedded electrodes and Bluetooth transmission to be build by the end of summer.

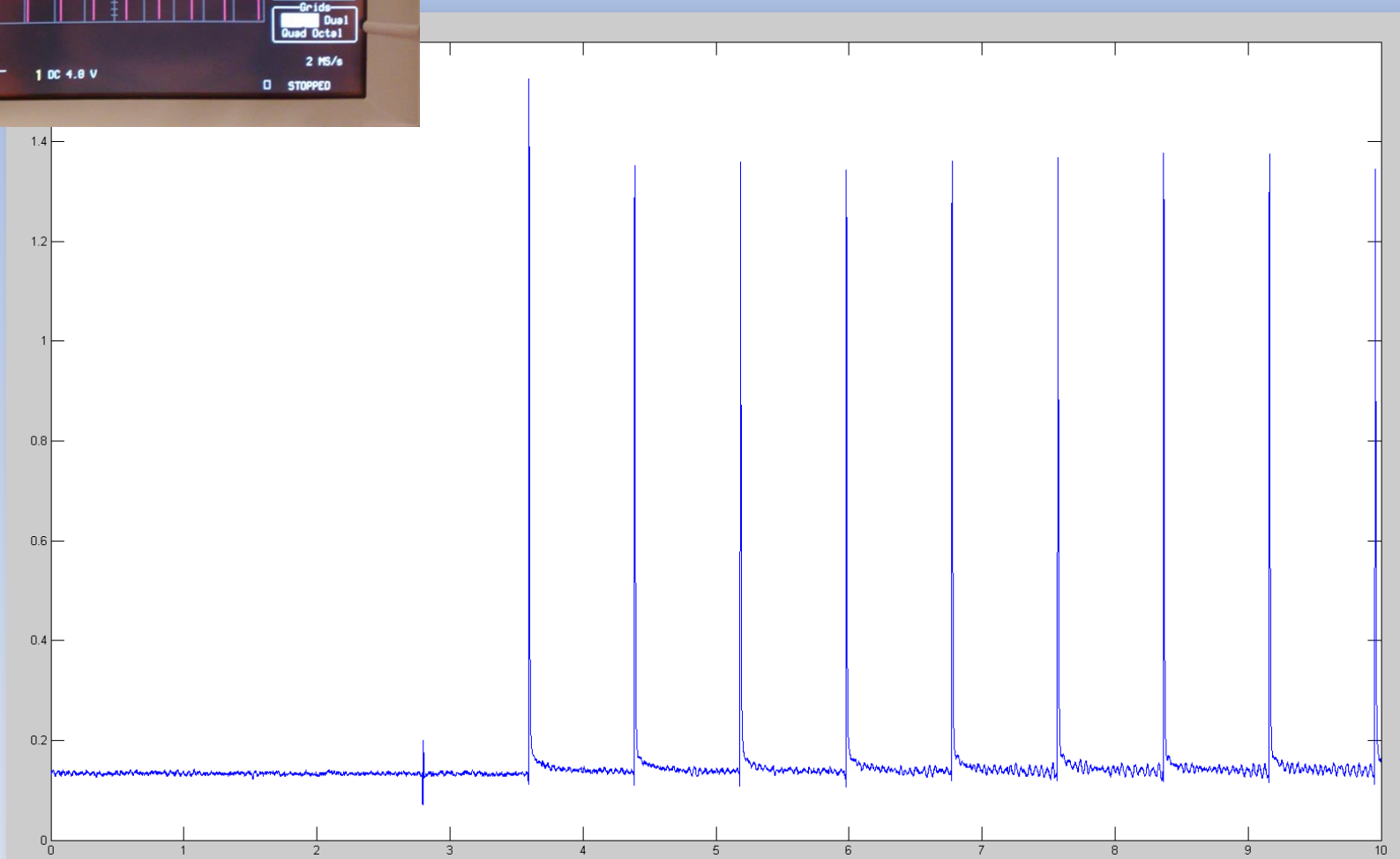
- Traceability of the beam characteristics during treatment delivery
- Will provides a 2D dose map
- Independent measurement

Near future : develop a dedicated down stream detector, and merge both upstream and downstream measurements

Additional slides



Mesure du signal sur chacune des chambres et pour chaque impulsion du faisceau

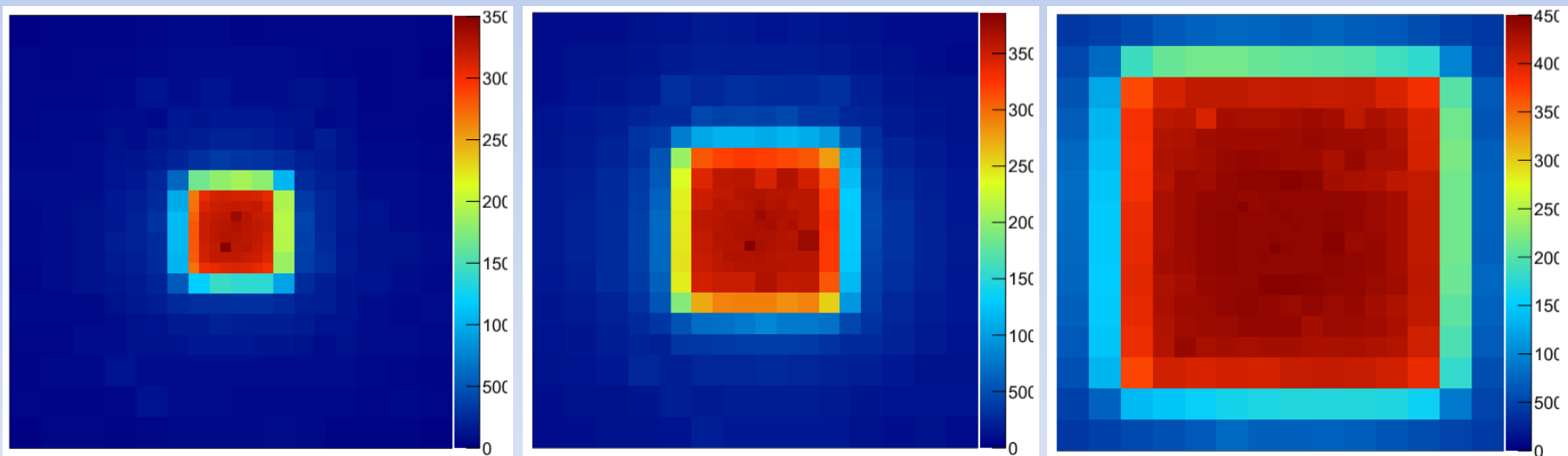


Results : 2D measurements

Complex and static fields data acquisitions.

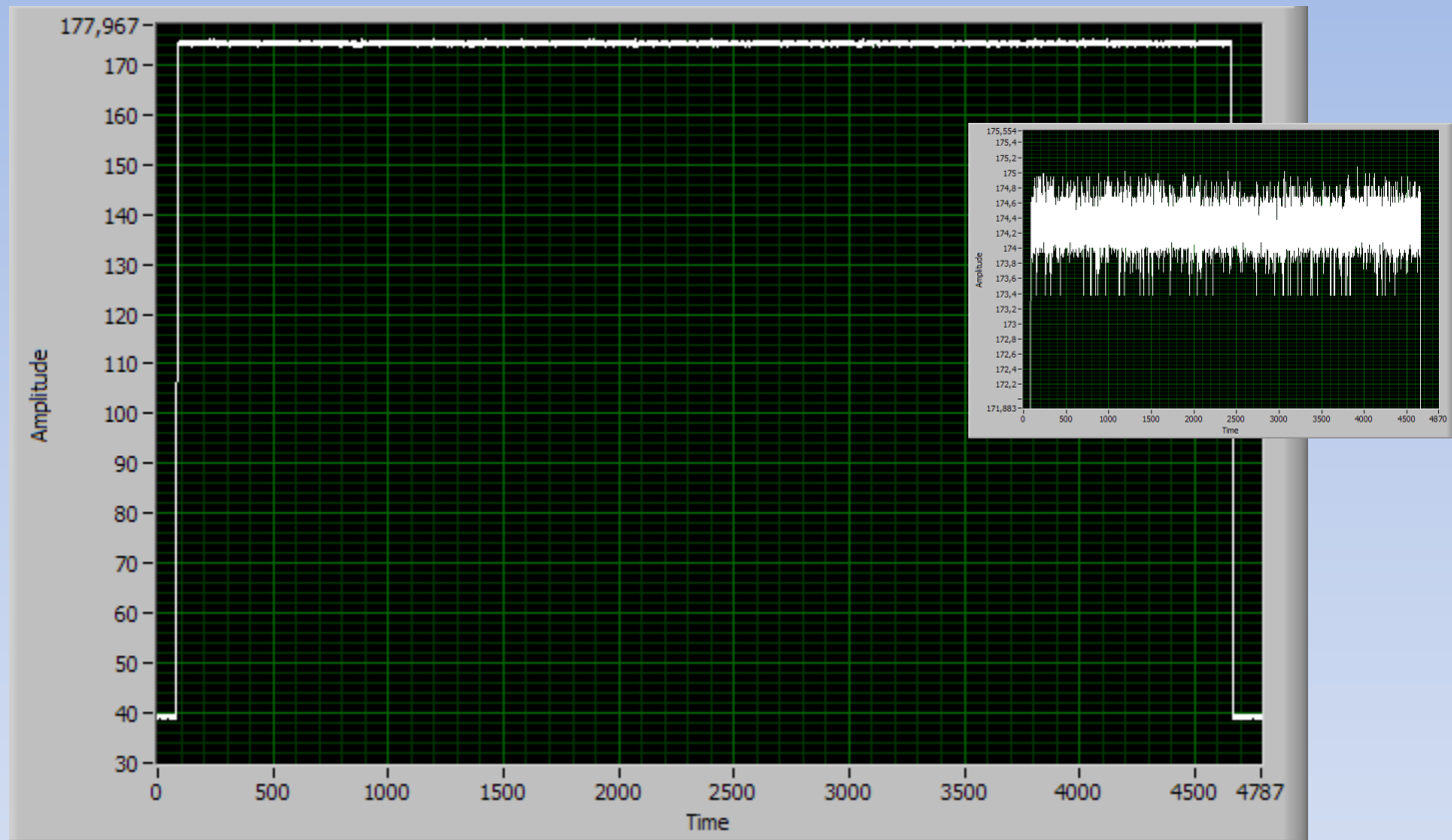
- Integrated mode
- Pulse by pulse mode

Static mode : 3x3, 5x5 et 10x10 cm² fields



Mesures conjointes à l'ESRF

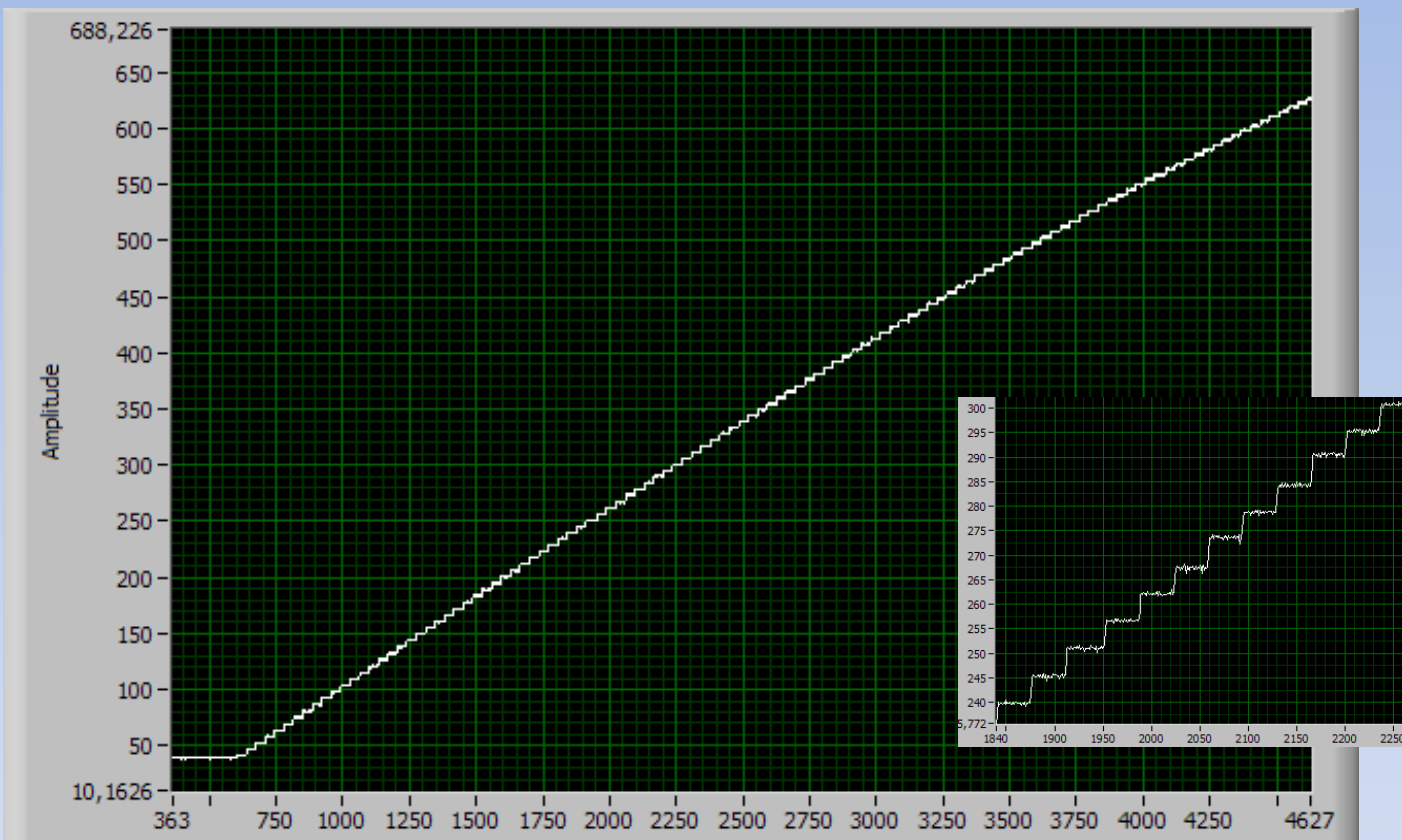
Stabilité temporelle



Mesure des charges sur une électrode. Irradiation continue pendant 3,5 minutes.
Stabilité exemplaire !

Mesures conjointes à l'ESRF

Linéarité et dynamique

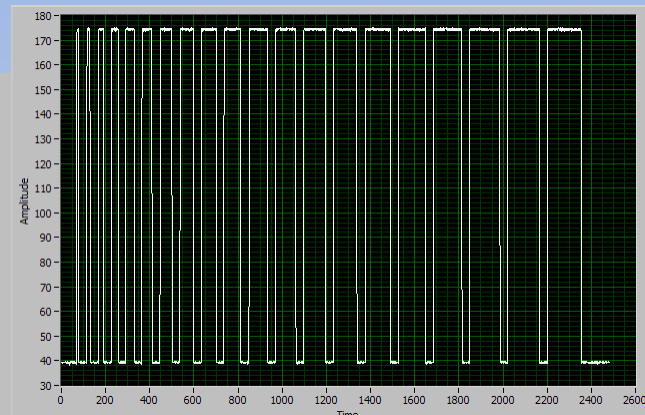
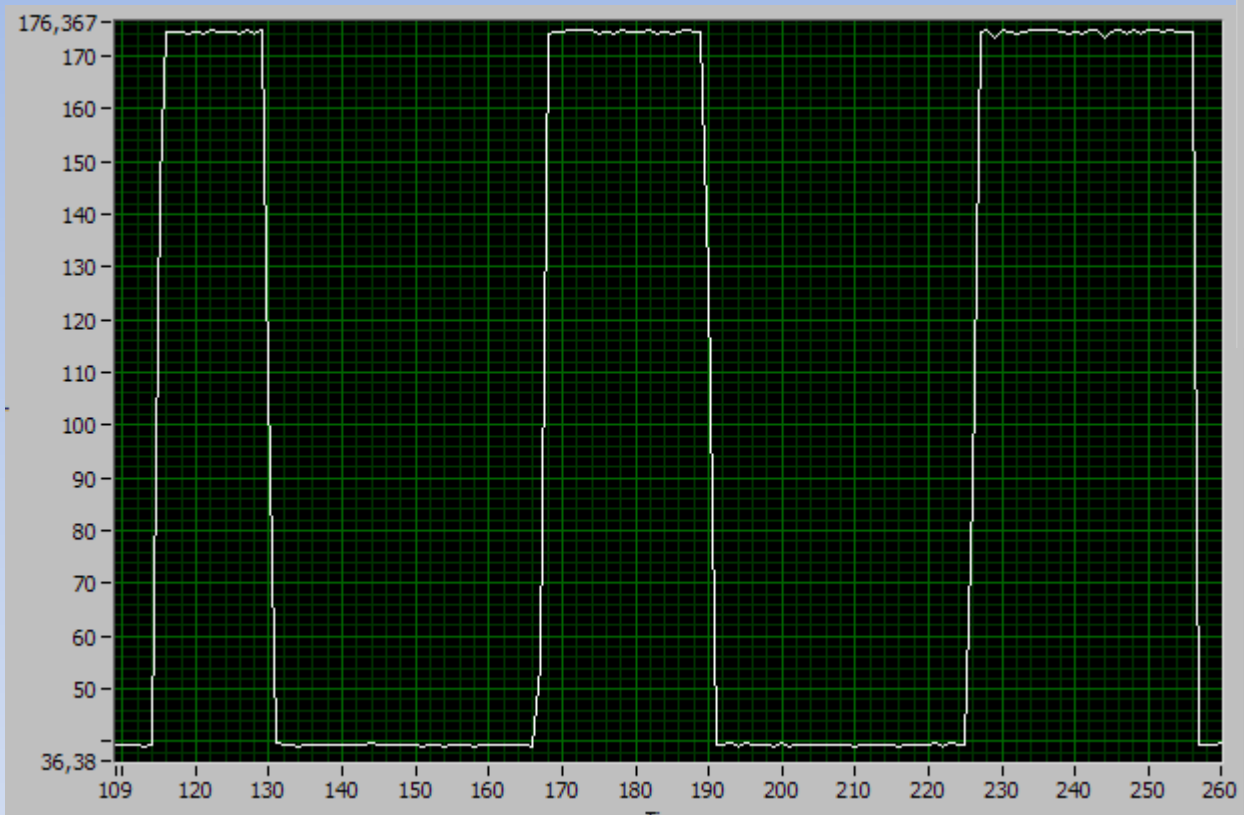


Mesure du signal sur une électrode.
Faisceau d'épaisseur 0 à 4,5 mm par pas de 25 μm .

A comparer au signal qui a été enregistré sur une chambre d'ionisation.

Mesures conjointes à l'ESRF

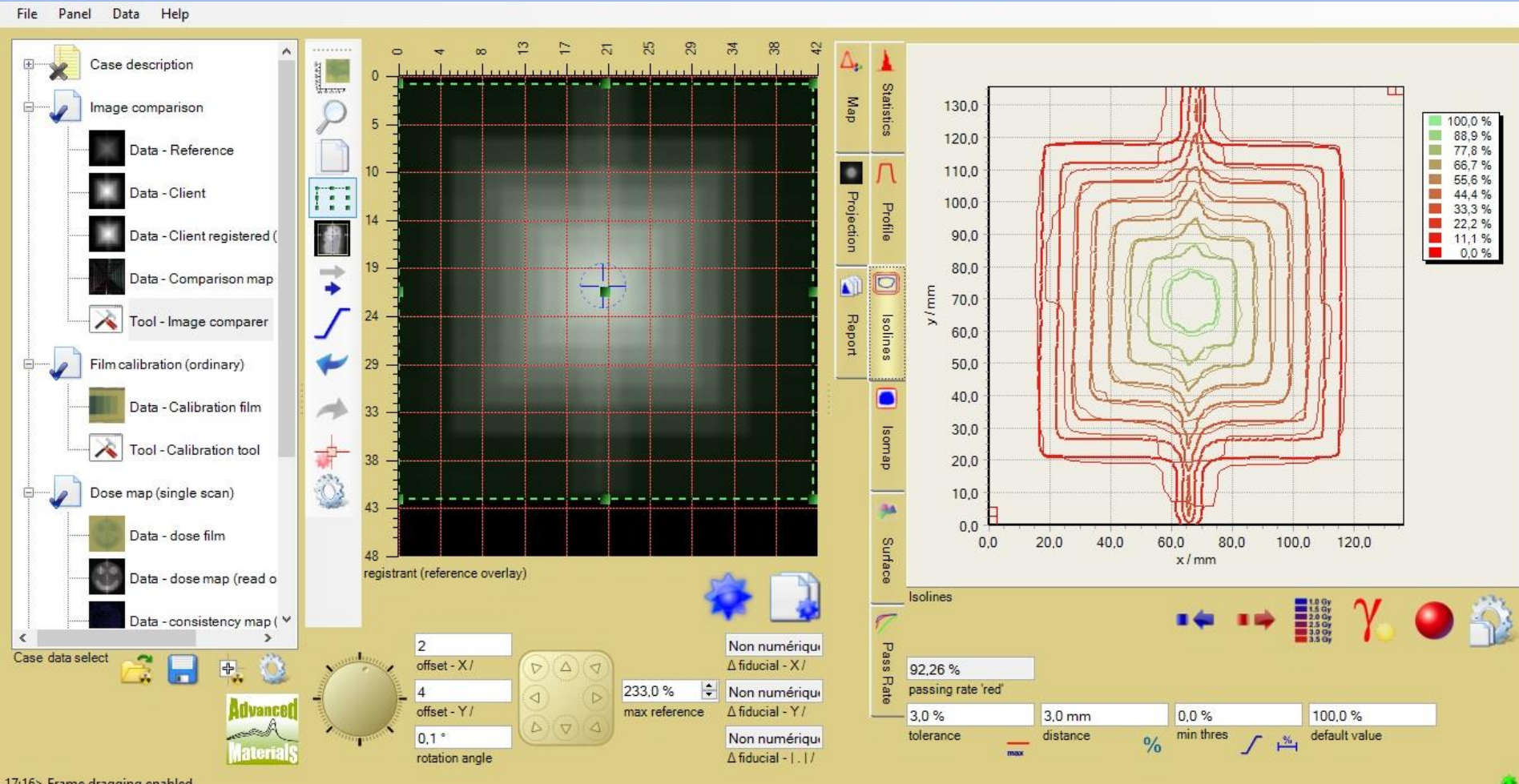
Régime transitoire



Mesure du signal sur une électrode.

Faisceau de 500 µm pendant 1 seconde puis 1,5 secondes, puis 2 secondes
Signaux comparables à ceux obtenus avec une chambre crayon,

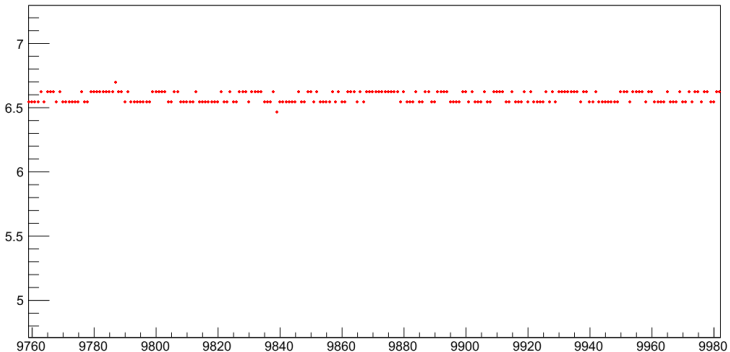
Comparison with EBT3 radiochromic films



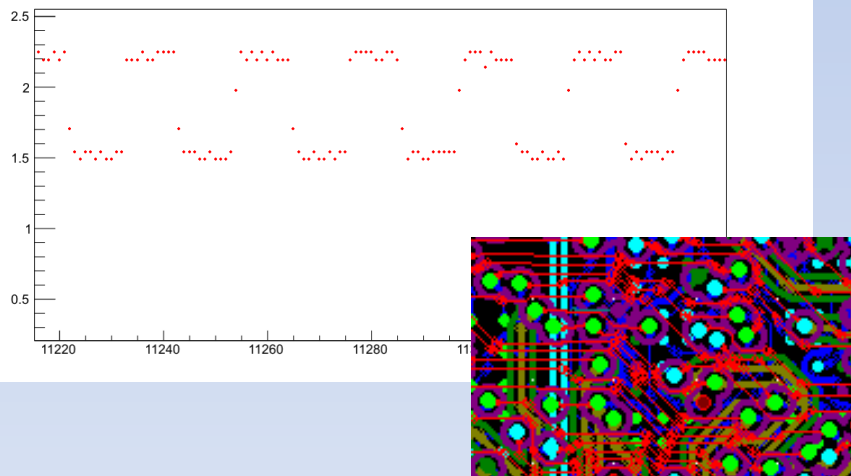
Need Cobalt 60 calibration (under way...)

Voies bruyantes

Graph



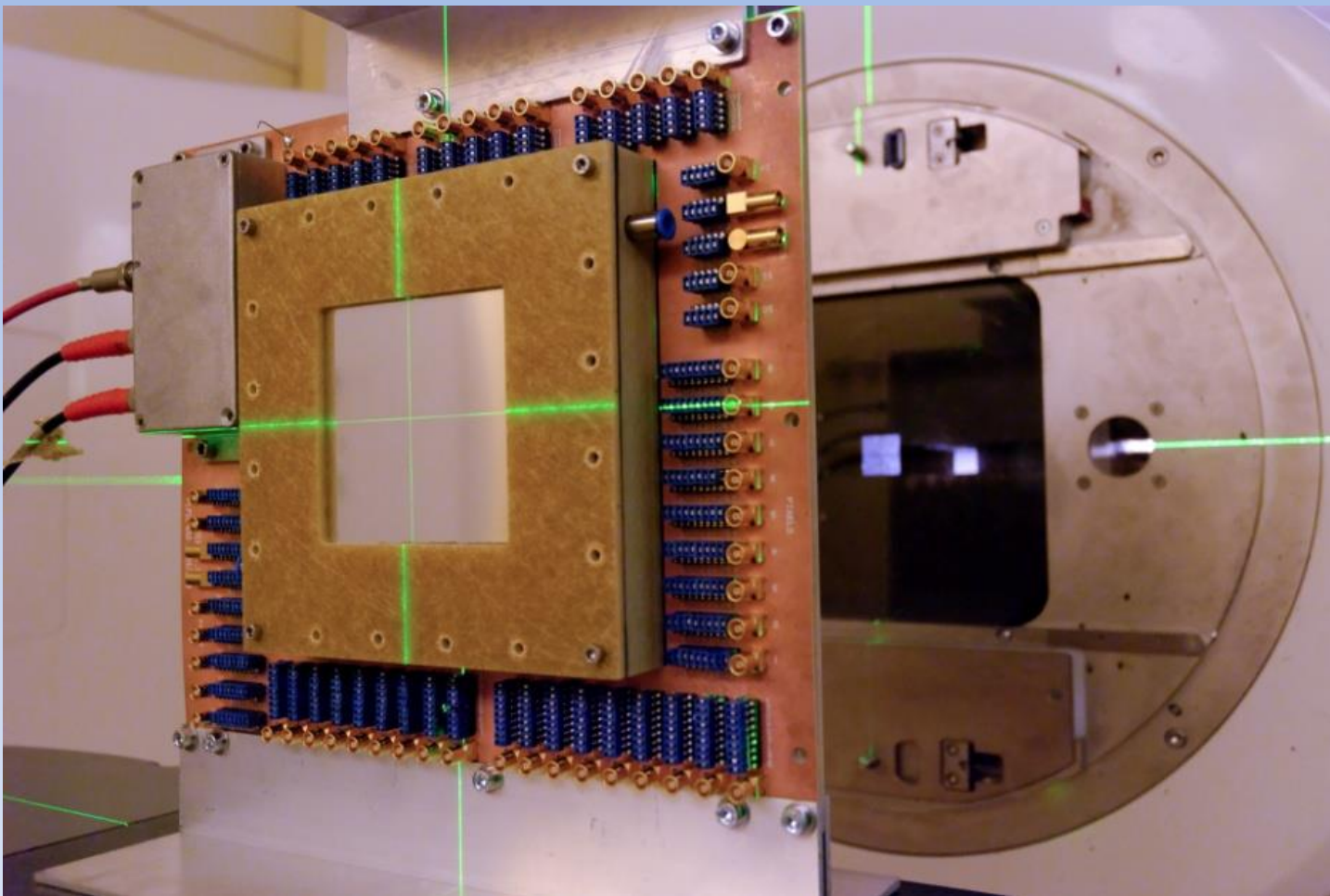
Graph



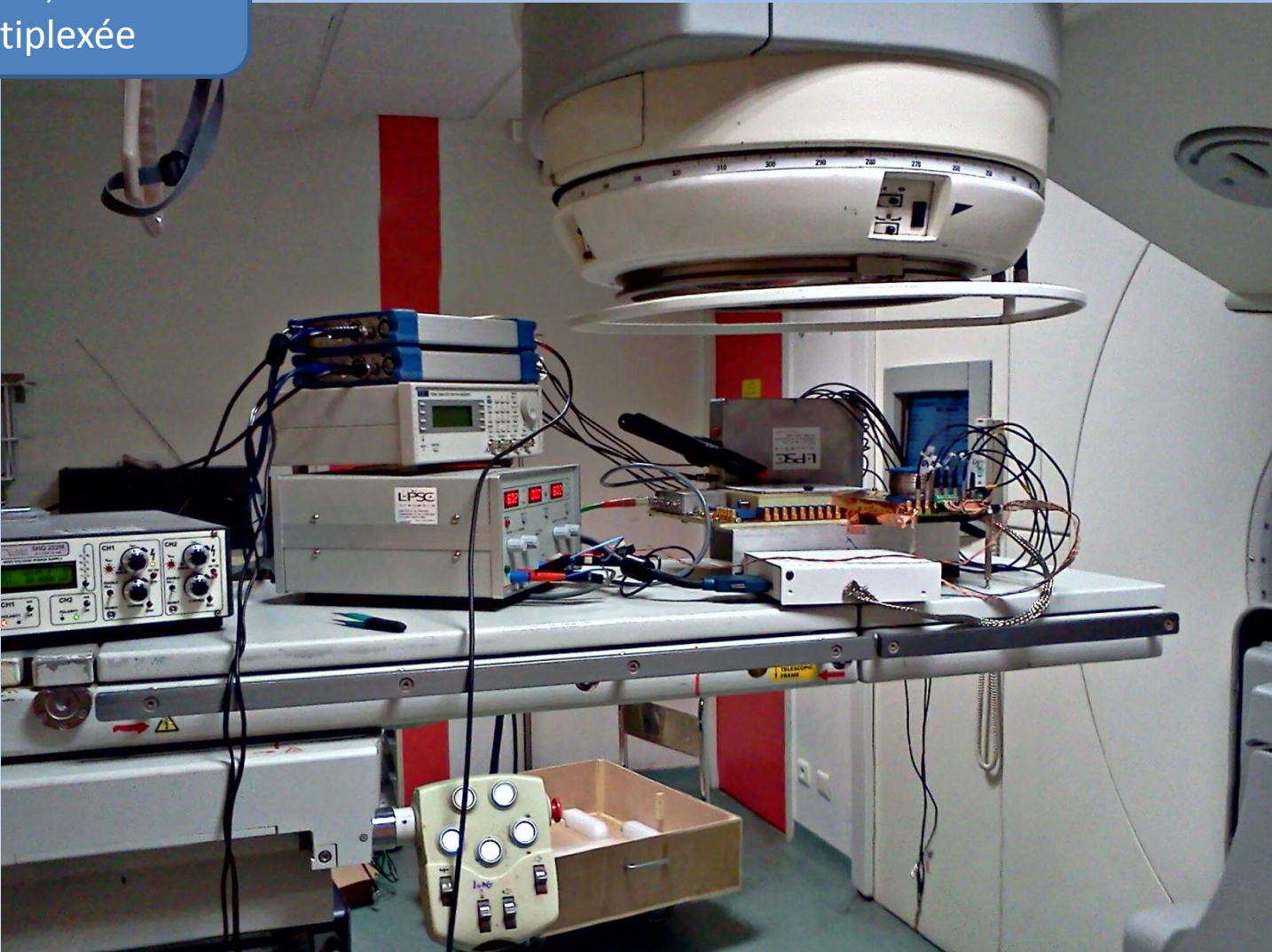
- Contenu d'une voie « normale » au cours d'une irradiation constante

- Certaines voies ont un comportement instable ?!?
- Après analyse et débogage, le routage du PCB introduit de la diaphonie entre bus de contrôle numérique et transport des charges depuis les électrodes.

1^{er} détecteur



Evolution du 1er détecteur, lecture multiplexée



Evolution du 1er détecteur, lecture multiplexée



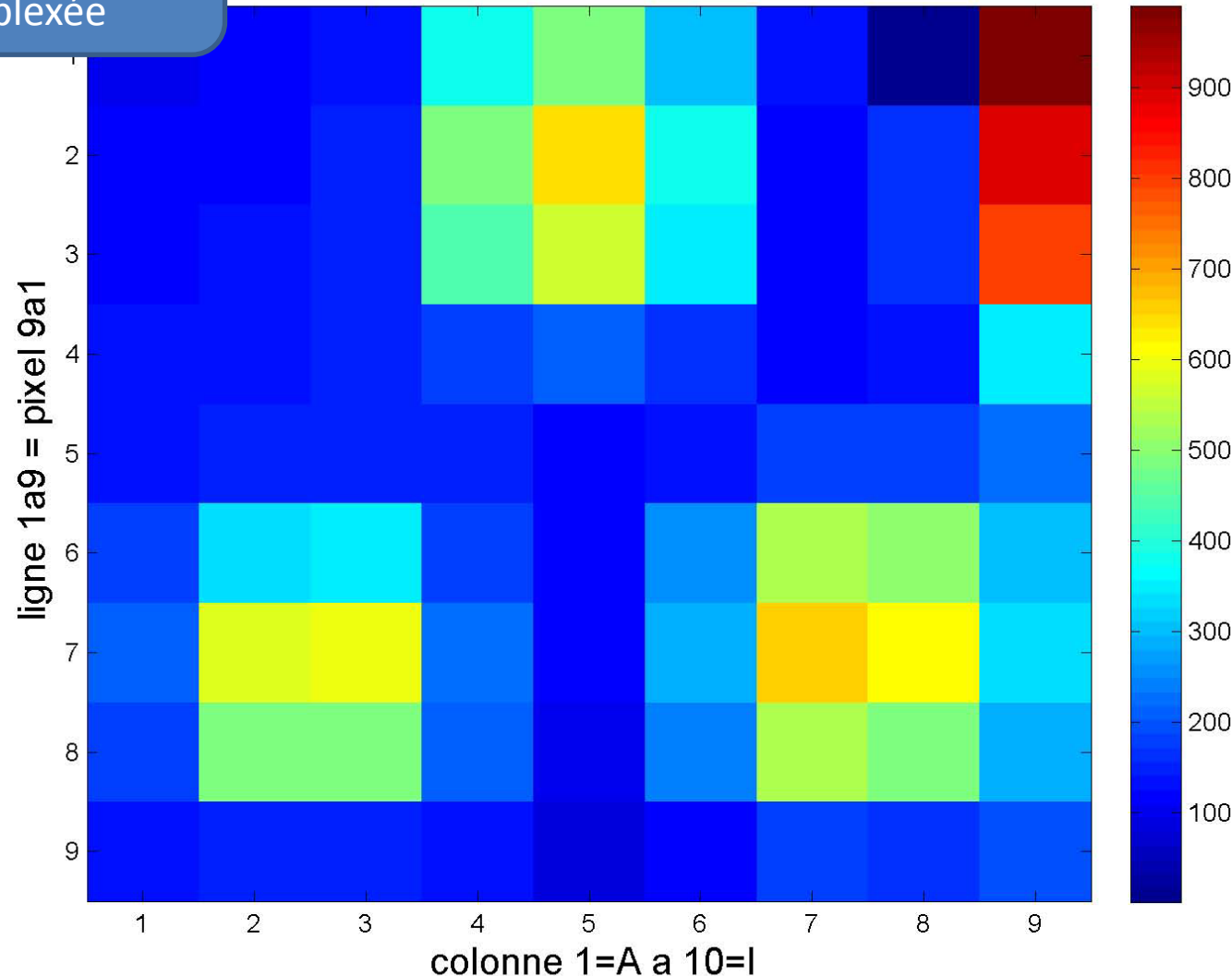
0.0

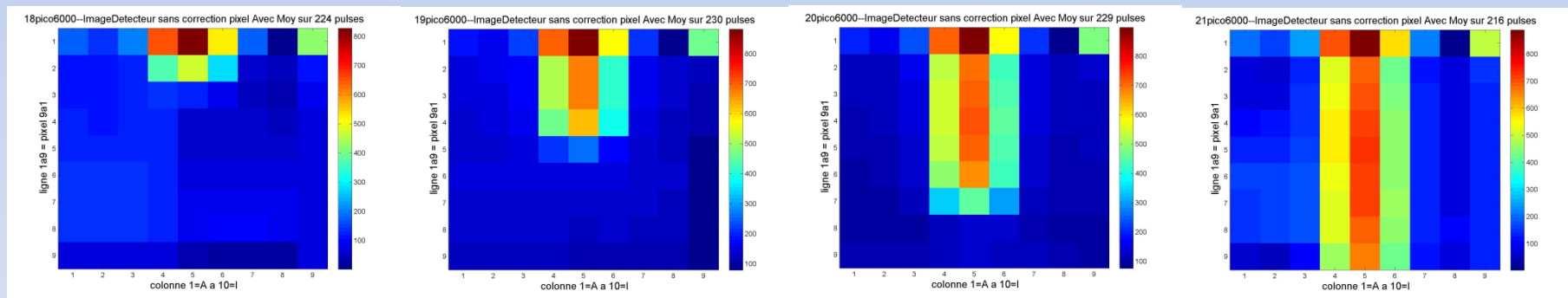
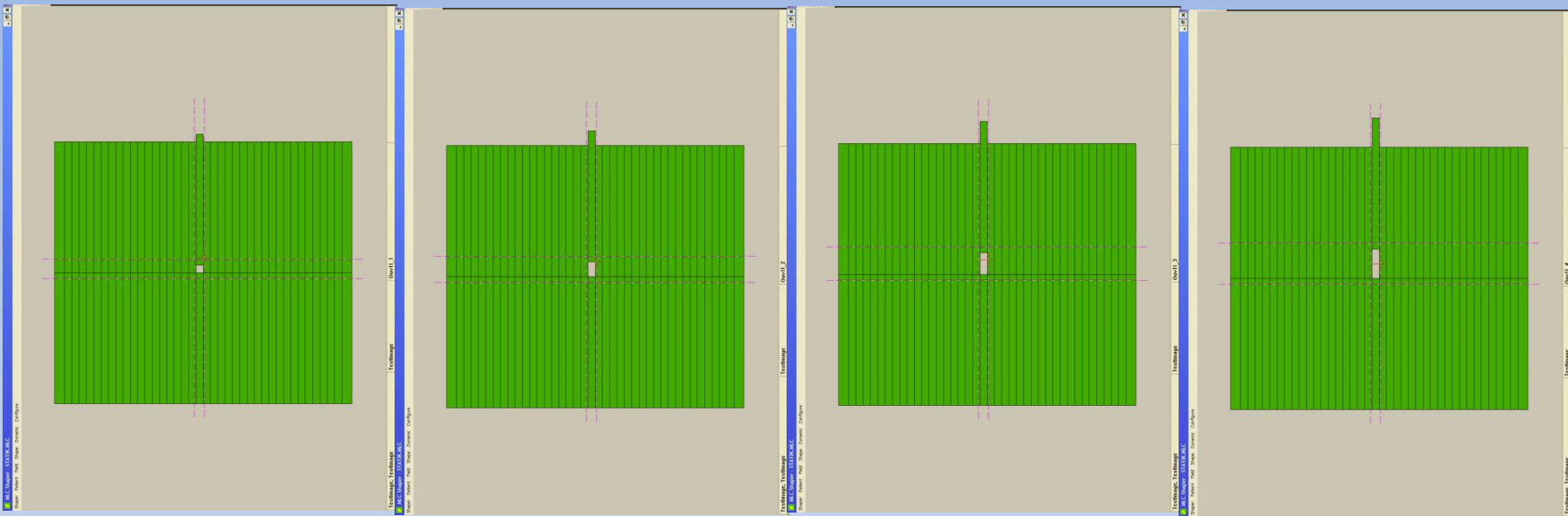
5.0

5.0

Evolution du 1er déTECTEUR, lecture multiplexée

Image Detecteur sans correction pixel Avec Moy sur 225 pulses





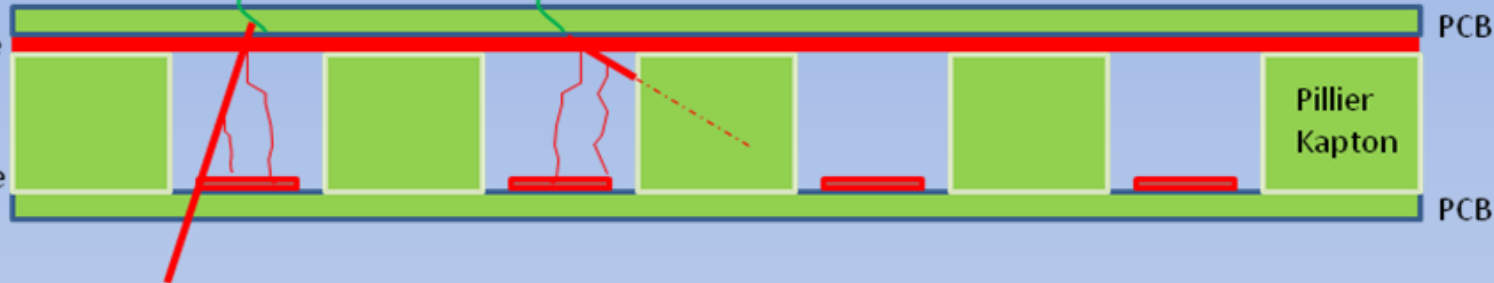
2^{ème} détecteur

2nd prototype with embedded electronics, patented



2^{ème} détecteur

bandes cuivre



PCB

Pillier
Kapton

PCB

PCB + pads cuivre

plan cuivré / PCB /
plan cuivré

512 µm

PCB + pads cuivre

Pillar
Kapton

